

П-58

ЯФ, 1969, т. 9, № 6, с. 1163-1172

ОБЪЕДИНЕННЫЙ
ИНСТИТУТ
ЯДЕРНЫХ
ИССЛЕДОВАНИЙ

Дубна



РЗ - 4122

Ю.П.Попов, М.Флорек

Лаборатория нейтронной физики

ПОИСКИ РЕАКЦИИ (n, α)
НА РЕЗОНАНСНЫХ НЕЙТРОНАХ ВБЛИЗИ ОБОЛОЧЕК
С N-50 И Z - 50

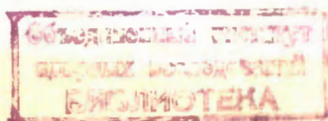
1968

P3 - 4122

Ю.П.Попов, М.Флорек

поиски реакции (n, α)
на резонансных нейтронах вблизи оболочек
С N=50 и Z=50

Направлено в ЯФ



4603/3 пр

I. Введение

Изучение α - распада является одним из основных методов исследования свойств атомных ядер. Однако слабая проницаемость кулоновского барьера ядра для α - частицы приводит к существенному сужению круга атомных ядер, которые можно исследовать с помощью α - распада. Практически это изотопы элементов с $Z > 84$ и несколько изотопов (в основном искусственных) редкоземельных элементов.

Интересную возможность расширения круга α - активных ядер представляет возбуждение ядра после захвата теплового или резонансного нейтрона. При этом энергия вылетающей α - частицы возрастает на величину энергии связи нейтрона в ядре и проницаемость кулоновского барьера ядра очень сильно возрастает (например, для ^{144}Nd на 30 порядков).

Впервые реакция (n, α) при возбуждении тяжелых ядер тепловыми нейтронами была обнаружена Макфарланом и Алмодоваром на ^{149}Sm /1/ и Хейфетцем с сотрудниками на ^{147}Sm , ^{149}Sm , ^{143}Nd /2/ и ^{123}Te /3/. Широкие поиски реакции (n, α) на тепловых нейтронах были предприняты Андреевым и Сироткиным, которые обследовали более 40 различных изотопов в области атомных весов $143 \leq A \leq 239$ /4/. Ими были наблюдены α - частицы в случае ^{143}Nd , ^{147}Sm , ^{149}Sm и ^{151}Eu . Для остальных изотопов получены лишь верхние оценки сечения реакции на тепловых нейтронах.

Исследование реакции (n, α) на резонансных нейтронах проводится нашей группой. Были измерены α -ширины около 40 резонансов в реакции (n, α) на ядрах-мишениях вблизи замкнутой нейтронной оболочки

$N=82$ (^{148}Nd , ^{145}Nd , ^{147}Sm и ^{149}Sm) /5-7/, а также получены первые сведения о спектрах α -частиц в отдельных резонансах/8/.

Настоящая работа является продолжением подобного рода исследований в новой, неизученной с точки зрения α -распада области атомных ядер. Здесь приводятся первые результаты поисков реакций (n, α) для чётно-чётных составных ядер, имеющих несколько нуклонов сверх замкнутых оболочек с $N = 50$ и $Z = 50$. Эти области атомных ядер более перспективны с точки зрения возможности наблюдения α -распада возбужденных состояний. Выбор конкретных ядер, предназначенных для исследований, осуществлялся на основании результатов расчётов α -ширина по статистической теории (см. ниже).

2. Методика измерений

На импульсном реакторе ИБР с микротроном в качестве инжектора/9/ были проведены поиски реакций (n, α) на ядрах-мишениях ^{95}Mo , ^{105}Pd , $^{123}\text{T}_{\mu}$, ^{129}Xe . Энергия нейтрона определялась по метолу времени проleta. Использовались пролетные базы 18 и 30 м. Временное разрешение для отдельных серий измерений указано в табл. 1.

В исследованиях реакции $^{95}\text{Mo}(n, \alpha)$ использовался многослойный газовый сцинтилляционный детектор/10/ без фоновых промежутков, расстояния между пластинами были увеличены до 4,5 см и между ними были введены сетки, на которые подавалось электрическое напряжение. Каждый промежуток между пластинами просматривался четырьмя фотоумножителями ФЭУ-49, импульсы с которых суммировались. Кроме того, рабочее давление газа — сцинтиллятора было уменьшено с 240 мм Hg до 180 мм Hg. Такое изменение режима работы детектора позволило получать более короткие во времени импульсы сцинтилляций в ксеноне, помещенном в электрическом поле, а следовательно, снизить вдвое фоны детектора.

В поисках реакций $^{105}\text{Pd}(\text{n}, \alpha)$ использовался тот же детектор, только импульсы с противолежащих фотоумножителей включались попарно на суммирование, а импульсы с каждого сумматора подавались на схему совпадений, которая управляла схемой пропускания. На вход схемы пропускания поступал просуммированный сигнал со всех 4 фотоумножителей, а импульс с выхода подавался на дифференциальный дискриминатор. Такой режим работы позволил в несколько раз снизить постоянные фоны детектора и в 3–10 раз (в зависимости от диапазона по времени относительно нейтронной вспышки) уменьшить фон детектора на пучке. Эффективность регистрации α -частиц уменьшилась по сравнению с прежней только на 30%. Этот вариант детектора в режиме естественных сцинтилляций (без электрического поля) применялся и для поисков реакции $\text{Xe}(\text{n}, \alpha)$.

Аналогичные фоновые условия были получены при изучении реакции $^{128}\text{Te}(\text{n}, \alpha)$ с помощью ионизационной камеры^{/8/}, когда α -частицы регистрировались в узком амплитудном окне. Такое разнообразие в детектирующей аппаратуре было связано с тем, что сечения реакций (n, α) на исследуемых изотопах очень малы даже по сравнению с сечениями на изотопах самария и неодима^{/5-7/} и были испробованы различные меры по уменьшению фонов детекторов α -частиц.

Сравнивая эти два основных типа детекторов, нужно отметить простоту конструкции и эксплуатации ионизационной камеры. Применение толстых мишеней (с толщиной до половины пробега α -частиц, вылетающих из мишеней) в ионизационной камере невыгодно, так как в этом случае придется использовать более широкое амплитудное окно, что ухудшает отношение эффект/фон. Фоновые условия в сцинтилляционном детекторе позволяют использовать толстые мицели общим весом до 20–30 граммов, хотя такой детектор более сложен в настройке и эксплуатации. Подробные характеристики различных режимов работы детекторов будут описаны отдельно.

Для регистрации γ -лучей в измерениях $^{95}\text{Mo}(\text{n}, \gamma)$ использовался жидкостной сцинтилляционный детектор γ -лучей^{/11/}.

В качестве мишеней, облучавшихся потоком резонансных нейтронов, использовались как естественные смеси изотопов (Pd , Xe), так и обогащенные изотопы $^{95} Mo$ и $^{123} Te$. Палладий применялся в виде фольги толщиной 10 микрон, $^{95} Mo$ и $^{123} Te$ наносились тонким слоем на алюминиевые пластины толщиной 0,5 мм методом, описанным И. Томиковой/12/. Характеристики образцов, типы использованных детекторов и некоторые другие методические данные приведены в табл. 1.

Результаты измерений обрабатывались двумя способами.

В случае $^{95} Mo$ проводились измерения выхода α - частиц и γ - квантов в отдельных резонансах (N_{α} и N_{γ} соответственно).

Тогда

$$\frac{N_{\alpha}}{N_{\gamma}} = \frac{\epsilon_{\alpha} \omega_{\alpha} t_{\alpha}}{\epsilon_{\gamma} \omega_{\gamma} t_{\gamma}} \cdot \frac{\Gamma_{\alpha}}{\Gamma_{\gamma}} = K_1 \frac{\Gamma_{\alpha}}{\Gamma_{\gamma}}, \quad (1)$$

где ϵ_{α} и ϵ_{γ} - эффективности регистрации случаев реакций (n, α) и (n, γ) ; ω_{α} и ω_{γ} - телесные углы, в которых регистрируются α - частицы и γ - кванты; t_{α} и t_{γ} - времена измерений соответствующими детекторами. В отличие от предыдущих работ /5,6/ здесь мы не могли воспользоваться для определения K_1 измерениями в тепловой области нейтронов, т.к. там эти реакции не наблюдались, и определяли K_1 из параллельных измерений выхода α - частиц в исследуемых резонансах и резонансах $^{143} Nd$, для которых известны величины Γ_{α} и Γ_{γ} . При этом использовались недавно уточненные Квитеком и Полоповым и отличающиеся от опубликованных ими ранее в работе /6/ значения α - ширин для резонансов с $E_0 = 127, 136, 180$ и 705 эв и $\Gamma_{\alpha} = 8,5 \pm 1,7; 33 \pm 11; 1,7 \pm 0,6$ и 16 ± 8 мкэв соответственно.

Эффективности регистрации ϵ_{α} и ϵ_{γ} для исследуемого элемента равны:

$$\epsilon_{\alpha} = a \epsilon_{\alpha}^k,$$

$$\epsilon_{\gamma} = b \epsilon_{\gamma}^k,$$

где индекс k относится к нормировочному элементу $^{143} Nd$.

Поправка a рассчитывалась П. Регаком на вычислительной машине, поправка b определялась с помощью измерений отношения выхода γ -лучей в резонансах нормировочного и исследуемого элемента при работе (n, γ) -детектора в режиме совпадений и суммирования /11/. Из-за идентичности геометрии $\omega_a = \omega_a^k$ и $\omega_\gamma = \omega_\gamma^k$, а так как $t_a = t_a^k$, $t_\gamma = t_\gamma^k$ (измерения параллельные), то

$$\Gamma_a = \Gamma_\gamma \frac{b}{a} \left(\frac{\Gamma_a}{\Gamma_\gamma} - \frac{N_\gamma}{N_a} \right)_k \frac{N_a}{N_\gamma}. \quad (2)$$

Второй метод обработки не требует измерения выхода γ -лучей в отдельных резонансах. Измеряются только выходы a -частич из исследуемого и нормировочного образцов. Кроме того, необходимо знание параметров исследуемых и нормировочных резонансов и изменения потока нейтронов с энергией.

Если образцы тонкие ($n \sigma_0 \ll 1$), что обычно выполняется для наших мишней, то можно показать, что

$$\Gamma_a = K_2 \frac{\Gamma}{g \Gamma_n} E_0^{1,8} N_a, \quad (3)$$

где

$$K_2 = \frac{\epsilon_a^k \omega_a^k t_a^k}{\epsilon_a \omega_a t_a} \left(\frac{g \Gamma_n}{\Gamma E_0^{1,8}} - \frac{\Gamma_a}{N_a} \right)_k \frac{n_0^k}{n_0}, \quad (4)$$

n_0 – количество ядер в образце, E_0 – энергия соответствующего резонанса. Принимается, что для реактора ИБР с водяным замедлителем поток нейронов на единицу энергии изменяется как $E^{-0,8}$.

Расчеты по формуле (3) использовались для всех исследованных изотопов. При этом параметры нейтронных резонансов ^{143}Nd брались из работы /13/, резонансов ^{123}Te , ^{95}Mo , ^{105}Pd из /14/ и ^{129}Xe из /15/.

3. Результаты измерений

Прежде чем перейти к изложению конкретных результатов, отметим некоторые особенности α -распада после захвата резонансных нейтронов. В нашем случае все ядра-мишени имеют основные состояния с положительной четностью и полуцелым спином /16/. Поэтому после захвата резонансного π -нейтрона образуется состояние с положительной четностью и целым четным или нечетным значением спина (см. схемы распада на рис. 1 и 2). Согласно закону сохранения четности α -распад в основное состояние четно-четного дочернего ядра с $J^{\pi}=0^+$ (т.е. переход с максимальной энергией α -частицы, а следовательно, и вероятностью) может происходить только из резонансных состояний с четным спином. В резонансах с нечетным спином α -распад возможен только на возбужденные состояния, т.е. с меньшей α -шириной. Такой эффект наблюдался ранее /6/ и иногда может быть использован для определения спина возбужденного состояния. В нашем случае разница в проницаемости α -частиц для переходов в состояния 0^+ и 2^+ может составлять один-два порядка и наблюдение резонансов с нечетными спинами сильно затруднено.

Молибден - 95. В нижней части рис. 1 приведена зависимость числа отсчетов детектора α -частиц от энергии захваченных нейтронов для ядер-мишней ^{95}Mo и ^{143}Nd (кривая 1) и для ^{95}Mo отдельно (кривая 2). В верхней части рисунка дана аналогичная кривая, полученная при детектировании γ -квантов из облучаемой нейtronами мишени ^{95}Mo . Эта кривая снималась при временном разрешении 12 нsec/м. На экспериментальной кривой для α -частиц отчетливо видно увеличение отсчетов детектора α -частиц в области положения резонансов ^{143}Nd с энергией 127, 135, 180, 408 и 705 эв (кривая 1) и также в области положения резонансов ^{95}Mo с энергией 553, 899 и 1145 эв (кривые 1 и 2). Следует отметить, что не наблюдается превышения эффекта над фоном в области сильного резонанса ^{95}Mo с энергией 45 эв. Это еще раз подтверждает, что увеличение значений N_α на кривой 1 или 2 нельзя объяснить регистрацией γ -квантов из реакции $^{95}\text{Mo}(n, \gamma)$.

Обработка результатов проводилась как по формуле (2), так и по формуле (3). Для определения K_1 и K_2 было использовано среднее значение по 4 резонансам ^{143}Nd . Отклонения от среднего не превышали 15%. В табл. 2 приведено число отсчетов α -частиц для отдельных резонансов и значения α -ширины. Для резонансов, проявляющихся в реакции (n, γ) и не проявившихся в реакции (n, α) , верхняя оценка α -ширины дается с вероятностью 95%, т.е. за величину Γ_α взята разность эффекта и фона плюс двойная статистическая ошибка. Можно отметить хорошее совпадение результатов обработки тем и другим методом.

Теллур - 123. Результаты измерений реакции $^{123}\text{Te}(n, \alpha)$ совместно с реакцией $^{143}\text{Nd}(n, \alpha)$ (для нормировки) приведены на рис. 2 (сплошная кривая). Пунктирная кривая проведена по измерениям Квитеха и Попова в масштабе 1:8 и характеризует выход α -частиц при возбуждении нейтронами различных энергий только ядер ^{143}Nd . Измерения реакции $^{143}\text{Nd}(n, \alpha)$ были проведены с временным разрешением 0,1 мксек/м, а реакции $^{123}\text{Te}(n, \alpha)$ — с разрешением 0,16 мксек/м, чем и объясняется разница в ширине резонансов на той и другой кривой. Сравнивая эти две кривые, можно заметить, что увеличение N_α в области положения резонансов ^{123}Te с энергией 96, 235 и 275 эв обусловлено реакций $^{123}\text{Te}(n, \alpha)$, а не $^{123}\text{Nd}(n, \alpha)$.

Число зарегистрированных α -частиц для отдельных резонансов и вычисленные значения α -ширины приведены в табл. 2. Обработка производилась по формуле (3). Для резонансов с $E_0 = 96, 235$ и 275 эв принималось $\Gamma_y = \bar{\Gamma}_y = 104 \pm 9$ Мэв /17/. Верхняя оценка α -ширины дается с вероятностью 95%.

В связи с малой статистической точностью выводы о величине α -ширины и значении спина для резонанса с $E_0 = 275$ эв, по-видимому, следует считать предварительными.

Палладий - 105. В измерениях зависимости N_α от энергии нейтронов в пределах статистической точности не наблюдалось увеличения числа отсчетов над уровнем фона в области положения резонансов ^{105}Pd вплоть

до энергии нейтронов 350 эв. В области выше 100 эв у ^{105}Pd имеется много близко расположенных резонансов, и разрешение 0,16 мкsec/м недостаточно для их разделения. Поэтому рассматривалась только область энергии ниже 100 эв, где известны спины всех резонансов ^{105}Pd . Для получения верхней оценки Γ_a использовались только уровни с $J^\pi = 2^+$ (см. выше). Наблюдаемые счеты и верхние значения a - ширин приведены в табл. 2. Обработка производилась по формуле (3).

Ксенон - 129. Были проведены два измерения, первое без калибровочной пластины ^{143}Nd , второе с калибровочной пластиной. Такая постановка эксперимента связана с тем, что в области положения резонанса с $E_0 = 125,8$ эв (единственный резонанс ^{129}Xe с $J^\pi = 0^+$ в области энергии нейтронов ниже 350 эв) имеется резонанс ^{143}Nd с большой a - шириной. В этом случае для определения t_a и t_a^k использовался монитор нейтронного потока.

На экспериментальной кривой N_a не наблюдалось превышения числа отсчетов над уровнем фона в области положения резонансов ^{129}Xe с энергией ниже 150 эв. Верхние оценки a - ширин, полученные по формуле (3), приведены в табл. 2.

4. Обсуждение результатов

Трактуя a - распад как квантовомеханический процесс проникновения a - частицы через потенциальный барьер ядра, мы можем представить вероятность a - распада (или a - ширину) как произведение двух множителей:

$$W = \frac{\Gamma_a}{h} = f_a P. \quad (5)$$

Первый множитель, f_a , есть вероятность образования a - частицы на поверхности ядра, второй множитель, P , учитывает вероятность проникновения a - частицы через кулоновский и центробежный (если a - частица вылетает с $l > 0$) барьеры ядра.

Множитель f_a определяется внутренними свойствами ядра, природой распадающегося состояния, а для парциальных a -переходов и "сродством" уровней материнского и дочернего ядер, между которыми происходит a -переход. Расчет этой величины на основании теоретических моделей в настоящее время проводится лишь для a -распада основного или первых возбужденных состояний некоторых ядер (см. например, /18/). В случае a -распада высоковозбужденных состояний оценка величины f_a возможна пока лишь на базе статистической теории, которая связывает этот множитель со средним расстоянием между уровнями в окрестности распадающегося состояния ядра — D простым выражением

$$f_a = \frac{D}{2\pi\hbar}. \quad (6)$$

Если a -распад составного ядра обусловлен захватом резонансного нейтрона, величина D имеет определенное значение и для большинства ядер она известна из нейtronной спектроскопии /17/.

Из-за экспоненциального падения множителя P с уменьшением энергии a -частицы наиболее интенсивные переходы должны идти в наименее из разрешенных состояний с энергией возбуждения $E_{min} > 0$ и ближайшие к ним состояния. Таким образом, в известном выражении статистической теории

$$\Gamma_a^{ct} = \frac{\Gamma}{2\pi} \sum_{i,l} P_i \rho_i, \quad (7)$$

где суммирование проницаемостей ведется по возможным орбитальным моментам l и конечным состояниям ядра i , практически можно ограничиться учетом уровней дочернего ядра с $E_{воз} - E_{min} \leq 1,5$ Мэв.

В наших оценках Γ_a^{ct} использовались величины P_l , рассчитанные Дадакиной /19/.

Для сравнения со статистической теорией мы пользовались средними значениями, $\bar{\Gamma}_a$, для каждого изотопа, и на рис. 3 показана (вместе с опубликованными ранее данными Квитека и Попова для изото-

пов $\text{Sm}^{15,7}$ и исправленными данными /8/ для Nd) зависимость от массового числа отношения средних экспериментальных α -ширин к теоретическим:

$$\frac{\bar{\Gamma}_\alpha}{\Gamma_\alpha^{\text{ст}}} = \frac{2\pi}{D} \frac{\bar{\Gamma}_\alpha}{\sum_{1\ell} P_{1\ell}} . \quad (8)$$

В случае, если α -распад в основное состояние преобладает, как это имеет место у Nd^{144} и, по-видимому, у Mo^{96} , Te^{124} и других ядер, где первое возбужденное состояние дочерних ядер расположено довольно высоко, мы получаем, что

$$\frac{\bar{\Gamma}_\alpha}{\Gamma_\alpha^{\text{ст}}} = \frac{\delta_0^2}{D} = S_\alpha , \quad (9)$$

где δ_0^2 - приведенная α -ширина перехода в основное состояние.

По аналогии с нейтронной спектроскопией величину S_α в данном случае можно назвать α -частичной "силовой функцией".

Усреднение экспериментальных значений α -ширин производилось в основном по всем наблюдаемым резонансам, кроме того, использовались верхние оценки Γ_α , но лишь те, где эксперимент давал точность, сравнимую с оценками по статистической теории. Не приводятся здесь верхние оценки α -ширин для четно-четных ядер мишеней палладия и ксенона - они пока на несколько порядков выше соответствующих величин $\Gamma_\alpha^{\text{ст}}$. В тех случаях, когда спины резонансов известны (см. таблицу 2), в согласии с формулой (9) были использованы только те резонансные состояния, из которых разрешен α -переход в основное состояние дочерних ядер. Для составных ядер Sm^{148} и Xe^{130} с целью увеличения статистической достоверности результатов было использовано среднее по всем исследовавшимся резонансам, и полученная величина $\bar{\Gamma}_\alpha$ сравнивалась с $\Gamma_\alpha^{\text{ст}}$, усредненной по α -переходам как в основное, так и первое возбужденное состояния. В случае Mo^{95} мы приписали трем самым сильным в реакции (n, α) резонансам значение спина $J = 2$ как наиболее вероятное (см. ниже).

При взгляде на рис. 3 обращает на себя внимание тот факт, что для всех случаев, где экспериментальная точность достаточна для сравнения со статистической теорией, $S_a \leq 1$. Одной из причин такого систематического расхождения теории с экспериментом является то, что статистическая теория предполагает наличие усреднения вероятностей α -распада как по начальным, так и по конечным состояниям ядер, в то время как в эксперименте мы имеем усреднение по начальным состояниям (по резонансам), а в качестве конечных состояний отобраны, как правило, только основные состояния, существенно специфичные по своей природе.

Так, например, для распада чётно-чётного ядра в основное состояние необходимо не только образование α -частицы на поверхности составного ядра (множитель f_α в формуле (5)), но и наличие всех нуклонов в ядре в спаренном состоянии. Обозначая вероятность последнего процесса через f_n (существенно, что $f_n < 1$), мы получаем, что вероятность α -переходов в основное состояние приобретает вид

$$W_0 = f_\alpha f_n P. \quad (10)$$

Подавление вероятности α -переходов в основное состояние можно заметить и при анализе спектров α -частиц в реакции $(n, \alpha)/8,20\%$. Подробнее см./21/.

Другой возможной причиной расхождения значений Γ_a^{CT} с экспериментальными данными является использование в расчётах проникаемостей P , экспоненциального потенциала Иго /22/. Возможно, использование оптического потенциала улучшит согласие теоретических и экспериментальных значений α -ширин. Такие расчёты планируются.

Дальнейшие исследования α -распада с высоковозбужденных состояний для более широкого круга ядер позволят проследить структуру зависимости $S_a (\Lambda)$. Не исключено, что α -частичная "силовая функция" имеет свои минимумы и максимумы, как мы это наблюдаем, например, для α -волновой нейтронной силовой функции.

Как отмечалось выше, распределение α -ширин для чётно-чётных составных ядер в зависимости от спина резонанса распадается на две группы, которые в большей или меньшей степени перекрываются между собой за счёт флюктуаций α -ширина/5-7/. Распределение α -ширин в каждой из групп можно описать распределением Портера-Томаса/23/ с числом степеней свободы $v = v_{\text{эфф}}$, где $v_{\text{эфф}}$ - эффективное число открытых каналов реакции/24/, определяемое в случае реакции (n, α) из соотношения проницаемостей для переходов в основное и нижнее возбужденные состояния дочерних ядер/21/. Как показывают расчёты, для исследованных нами ядер $v_{\text{эфф}} \approx 1$. Это значение использовалось при оценке вероятностей того, что данная величина $\bar{\Gamma}_\alpha$ относится к резонансу с тем или иным спином.

В случае ^{123}Te средняя α -ширина для резонансов со спинами $J = 0$ должна быть в 500 раз больше, чем $\bar{\Gamma}_\alpha$ для $J = 1$ из-за разницы в проницаемостях для α -распада в основное и первое возбужденное состояние. Поскольку вероятность того, что α -ширина будет в сотни раз больше $\bar{\Gamma}_\alpha$, практически равна нулю, мы можем на основании полученных нами значений приписать резонансам ^{123}Te с $E_0 = 96, 235$ и 275 эв $J^\pi = 0^+$.

Для ^{95}Mo положение не столь определенно, поскольку за счёт разницы в проницаемостях расчёты дают $\bar{\Gamma}_\alpha(J=3) = \frac{1}{20} \bar{\Gamma}_\alpha(J=2)$, а кроме того, измеренные нами величины $\bar{\Gamma}_\alpha$ на порядок меньше рассчитанных по статистической модели для $J = 2$. Поэтому значение спина $J = 2$ приписывается наиболее сильным резонансам в реакции $^{95}\text{Mo}(n, \alpha)$ с $E_0 = 554, 899$ и 1145 эв лишь как наиболее вероятное. Резонансу ^{95}Mo с $E_0 = 45$ эв, согласно нашим измерениям, следует приписать значение $J = 3$ как наиболее предпочтительное, поскольку при $J = 2$ вероятность встретить резонанс с $\bar{\Gamma}_\alpha = 1/1000 \bar{\Gamma}_\alpha$ равна всего 2%.

Полученные нами значения спинов резонансов ^{95}Mo полностью согласуются с результатами недавней работы Косева и др./25/.

В заключение авторы выражают свою благодарность Ф.Л. Шапиро за полезные обсуждения, Й.Томиковой за изготовление мишеней, В.Семенову, принимавшему участие в измерениях и обработке результатов по ^{95}Mo , и П.Регаку за проведение ряда расчётов и помошь при изме-

рениях. Авторы благодарны В.С.Золотареву и его сотрудникам за предоставление разделенных изотопов.

Л и т е р а т у р а

1. R.D. Macfarlane, J. Almodovar. *Phys. Rev.*, 127, 1665 (1962).
2. E. Cheifetz, J. Gilat et al. *Phys. Lett.*, 1, 289 (1962).
3. E. Cheifetz, Y. Gozez, A.I. Yavin. *Nucl. Phys.*, A91, 238 (1967).
4. В.Н.Андреев, С.М.Сироткин. *ЯФ*, 1, 252 (1965).
5. I. Kvitek, Yu.P. Popov. *Phys. Lett.*, 22, 186 (1966).
6. И.Квитец, Ю.П.Попов. Письма ЖЭТФ, 5, 365 (1967).
7. Yu.P. Popov, I. Kvitek, M. Stempinski. *Contributions International Conference on Nuclear Structure*. 7-13. sept. 1967, Tokio, Japan, p. 311.
8. Ю.П.Попов, М.Стэмпинский. Письма ЖЭТФ, 7, вып. 4, 126 (1968).
9. В.Д.Ананьев, П.С.Анцупов, С.П.Капица, И.М.Матора, В.И.Мелехин, Л.Н.Меркулов, Р.В.Харьков. Препринт ОИЯИ, Р-2313, Дубна, 1965.
10. И.Квитец, Ю.П.Попов, К.Г.Родионов. ПТЭ №2, 90 (1967).
11. Л.Б.Пикельнер, М.И.Пшитула, Ким Хи Сан, Чэн Лин Янь, Э.И.Шарапов. ПТЭ, №2 (1963).
12. Й.Томикова. Препринт ОИЯИ 13-4083, Дубна, 1968.
13. Э.Н.Каржавина, Нгуен Нгуен Фонг, А.Б.Попов, А.И.Таскаев. Препринт ОИЯИ, РЗ-3564, Дубна, 1967.
14. Neutron Cross Section. BNL-325, suppl. N2, II.B, 1966.
15. Nuclear Date for Reactor, CN - 23/72, Vienna, IAEA, 1967.
16. C.M. Lederer, I. Perlman, Table of Isotopes. 6.th. Ed, New York, 1967.
17. И.В.Гордеев, А.А.Кардашев, А.В.Малышев. Ядерно-физические константы. Атомиздат, 1963.
18. J.O. Rasmussen. *Nucl. Phys.*, 44, 93 (1965).
19. А.Ф.Дадакина. Бюллетень информационного центра по ядерным данным №3, 326, Атомиздат, 1966.
20. N.S. Oakey, R.D. Macfarlane. *Phys. Lett.*, 24B, 142 (1967).

21. Ю.П.Попов. Материалы Третьей зимней школы по теории ядра и физике высоких энергий, часть II стр. 127, АН СССР, ФТИ, Ленинград, 1968.
22. G.Jgo. Phys.Rev.Lett., 1, 72 (1958).
23. C.E. Porter, R.Y. Thomas. Phys.Rev., 104, 483 (1956).
24. L. Willets. Phys.Rev.Lett., 9, 430 (1962).
25. C. Coceva, F. Corvi, P. Giacobbe, G. Carraro. Nucl. Phys., A 117, 586 (1968).
26. М.И.Певзнер, Ю.В.Адамчук, Л.С.Данелян, Б.В.Ефимов, С.С.Москалев, Г.В.Мурадян. ЖЭТФ, 44, 1187 (1963).
27. Л.С.Данелян, Б.В.Ефимов. Атомная энергия, 14, вып. 3, 263 (1963).

Рукопись поступила в издательский отдел
24 октября 1968 года.

Таблица I

Адро-мишень	E_a , МэВ	% содержан. изотопа	вид образца	вес образца, г	площадь	тип де- тектора	время из- мерения (час)	временное разрешение, миксек/ч
^{95}Mo	6,4	82,4	Mo_2O_3	23,04	2900 cm^2	газовый спинтиллят. с полем	^{131}Cs 50 мес	^{143}Nd 0,143
^{105}Pd	6,25	22,6 (ефект смесь)	метал. фольга	19,3	2800 cm^2	"	53	0,16
^{125}Te	7,32	67,3	TeO_2	2,08	942 cm^2	ионизац. камера	74	0,16
^{129}Xe	6,85	26,4	газ	70	$V = 1,7 \cdot 10^4 \text{ см}^3$ $R = 0,7 \text{ атм}$	газовый спинтиллят. без поля	51	0,15
^{143}Nd	9,42	73,2						

Таблица 2

Ядро- мишень	E_0 , эВ	J	N_a	Γ_a , мкэВ		Γ_a^{ct} , мкэВ
				по формуле (2)	по формуле (3)	
^{95}Mo	45, I	3^{\pm}	-75 ± 52	$\leq 0,016$	$\leq 0,019$	15
	158, 5	3^{\pm}	63 ± 35	$\leq 4,5$	$\leq 4,0$	"
	358, 2	3^{\pm}	41 ± 32	$\leq 3,1$	$\leq 1,6$	"
	553, 9	2^{\pm}	123 ± 40	$6,0 \pm 3,8$	$6,3 \pm 3,6$	290
	899	2^{\pm}	239 ± 55	22 ± 13	16 ± 12	"
	II45	2^{\pm}	266 ± 59	48 ± 29	39 ± 25	"
^{123}Te	2,334	1^{\pm}	2 ± 8		$\leq 0,004$	0,007
	24, 1	0^{\pm}	-1 ± 9		$\leq 0,1$	4,0
	35, 9		-3 ± 10		$\leq 0,35$	"
	96, 9	0	45 ± 11		$3,3 \pm 1,9$	4,0
	235, 3	0	44 ± 14		$5,3 \pm 3,8$	"
	275	0	27 ± 12		$3,4 \pm 2,9$	"
^{105}Pd	I3, 2	2^{\pm}	4 ± 12		$\leq 0,06$	0,82
	30, 2	2^{\pm}	5 ± 13		$\leq 3,4$	"
	78, 5	2^{\pm}	13 ± 14		$\leq 0,6$	"
^{129}Xe	9, 4	1^{\pm}			$\leq 0,004$	0,004
	92, 2	1^{\pm}	16 ± 11		$\leq 0,02$	"
	I25, 8	0^{\pm}	7 ± 11		$\leq 0,03$	0,25

*) Значения спинов резонансов взяты из работ /14, 15, 25/.

В расчётах Γ_a^{ct} для ^{95}Mo и ^{123}Te значение в приводится по данным работ /26, 27/ соответственно.

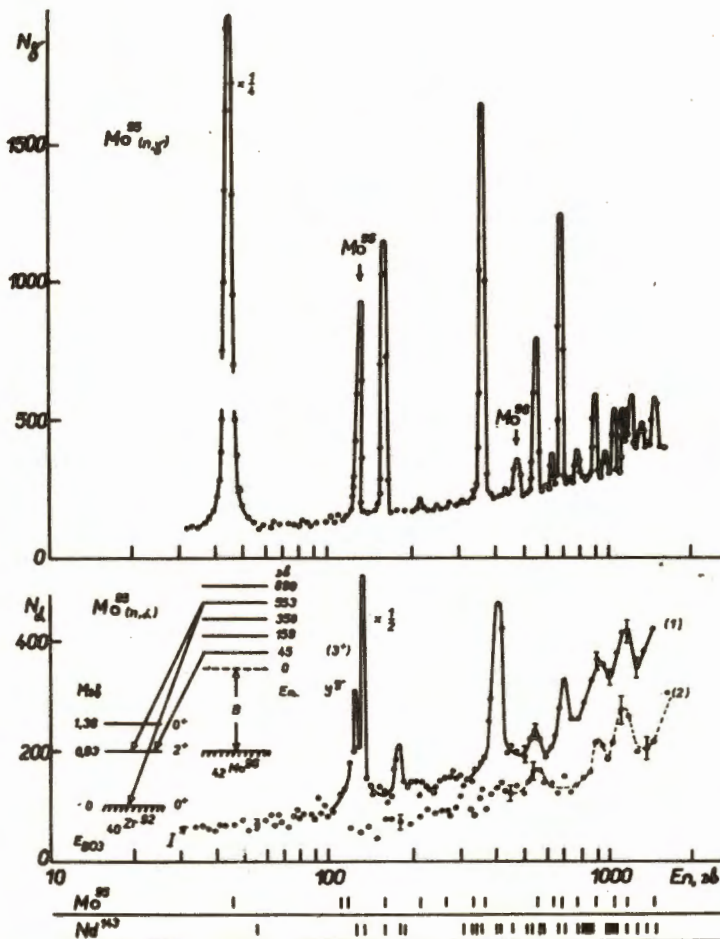


Рис. 1. Зависимость числа отсчётов детектора α - частиц от энергии нейтронов в измерениях с разделенными изотопами ^{95}Mo и ^{149}Nd (кривая 1) и разделенным изотопом ^{95}Mo (кривая 2 в масштабе 2 : 1). В верхней части рисунка – аналогичная кривая для реакции $^{95}\text{Mo}(n, \alpha)$, В – энергия связи нейтрона в ядре, J^π – спин и чётность резонансных состояний составного ядра, I^π – спин и четность состояний дочернего ядра. Внизу рисунка показано положение известных резонансов в ^{95}Mo и ^{149}Nd .

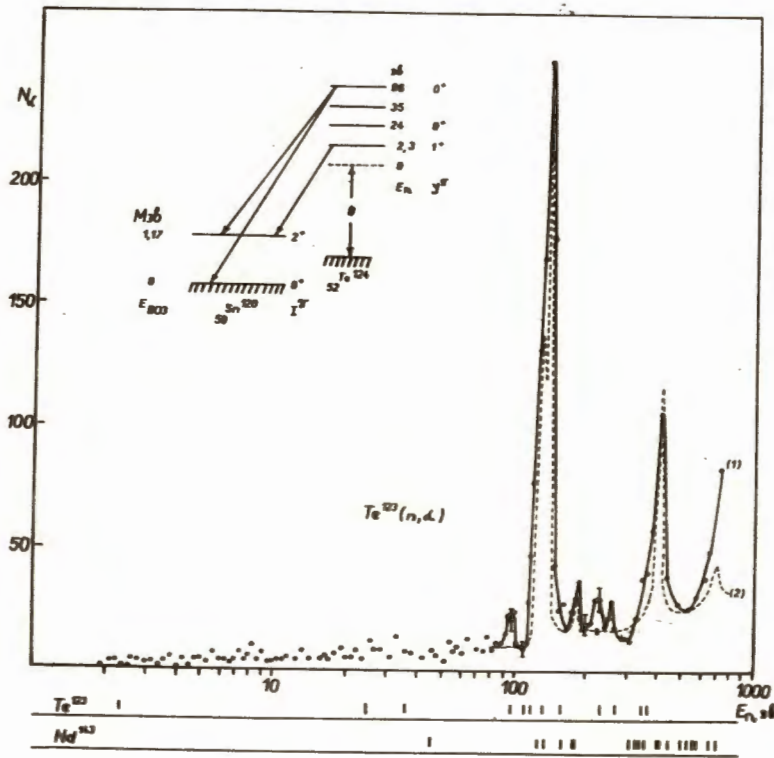


Рис. 2. Зависимость числа отсчётов детектора a – частиц от энергии нейтронов в измерениях с разделенными изотопами ^{123}Te и ^{143}Nd (кривая 1) и с разделенным изотопом ^{143}Nd (кривая 2 в масштабе 1 : 8). Внизу рисунка показано положение известных резонансов в ^{123}Te и ^{143}Nd .

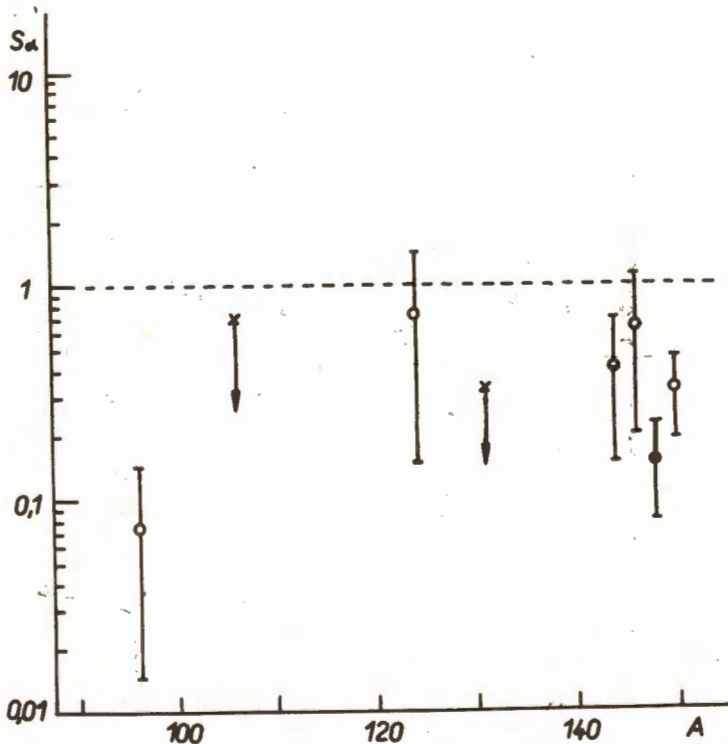


Рис. 3. Сравнение средних значений α -ширины, полученных в эксперименте, с рассчитанными по статистической теории для различных ядер: $S_\alpha = \bar{\Gamma}_\alpha / \Gamma_\alpha^{\text{CT}}$ (\circ — среднее по резонансам, для которых разрешен α -переход в основное состояние дочернего ядра, ● — среднее по всем наблюдаемым резонансам, x — верхняя оценка).